

Магнитный момент акцепторного центра в кубических полупроводниках

© А.В. Малышев, И.А. Меркулов

Физико-технический институт им. А.Ф.Иоффе Российской академии наук,
194021 Санкт-Петербург, Россия

(Поступила в Редакцию 19 июля 1996 г.)

Для алмазоподобных полупроводников рассчитано расщепление в магнитном поле спиновых уровней основного состояния акцепторного центра, описываемого суперпозицией кулоновского потенциала и потенциала центральной ячейки. Получено аналитическое выражение для g -фактора в модели потенциала нулевого радиуса, зависящее только от соотношения масс легкой и тяжелой дырок. Показано, что отличия в значениях g -фактора для предельных случаев чисто кулоновского потенциала и потенциала нулевого радиуса не превосходят 5%, что позволяет использовать для оценок найденную аналитическую формулу.

Во внешнем магнитном поле локализованные состояния носителей заряда, вырожденные по проекции углового момента, расщепляются (эффект Зеемана).

Из-за сложности структуры валентной зоны в алмазоподобных полупроводниках значение g -фактора локализованной на акцепторе дырки обычно рассчитывают вариационным методом. В этой работе такой расчет будет выполнен для кристаллов СаАs на основе найденных в [1] волновых функций основного состояния акцепторов с различной энергией связи (различной величиной химического сдвига).

Как хорошо известно, состояние свободной дырки в четырехкратно вырожденной валентной зоне в алмазоподобном полупроводнике в присутствии внешнего постоянного магнитного поля описывается гамильтонианом Латтинжера [2]

$$\begin{aligned} \hat{H}_L(\mathbf{H}) = & \frac{\hbar^2}{m} \left\{ \left(\gamma_1 + \frac{5}{2} \gamma_2 \right) \frac{\hat{k}^2}{2} - \gamma_2 \left(\hat{k}_x^2 \hat{j}_x^2 + \hat{k}_y^2 \hat{j}_y^2 + \hat{k}_z^2 \hat{j}_z^2 \right) \right. \\ & - 2\gamma_3 \left(\{ \hat{k}_x, \hat{k}_y \} \{ \hat{j}_x, \hat{j}_y \} + \{ \hat{k}_y, \hat{k}_z \} \{ \hat{j}_y, \hat{j}_z \} + \{ \hat{k}_z, \hat{k}_x \} \right. \\ & \left. \left. \times \{ \hat{j}_z, \hat{j}_x \} \right) + \varkappa \frac{e}{\hbar c} \hat{\mathbf{J}} \mathbf{H} + q \frac{e}{\hbar c} \left(\hat{j}_x^3 H_x + \hat{j}_y^3 H_y + \hat{j}_z^3 H_z \right) \right\}, \end{aligned} \quad (1)$$

где $\gamma_1, \gamma_2, \gamma_3, \varkappa$ и q — параметры Латтинжера, $\hat{k}_\alpha = \hat{p}_\alpha + (e/c)A_\alpha = -i(\partial/\partial x_\alpha) + (e/c)A_\alpha$, $\mathbf{A} = (1/2)[\mathbf{H} \times \mathbf{r}]$ — вектор-потенциал магнитного поля \mathbf{H} . Мы будем рассматривать наиболее простой случай, когда магнитное поле направлено вдоль оси z , т.е. $\mathbf{H} = (0, 0, H)$.

Для того чтобы рассчитать g -фактор акцепторного центра, необходимо знать волновые функции дырки, связанной на этом центре. Гамильтониан дырки, связанной на акцепторе в алмазоподобном полупроводнике, отличается от (1) наличием потенциала притяжения $V(\mathbf{r})$, который, вообще говоря, различен для разных акцепторов. Этот потенциал обычно представляется в виде суперпозиции действующего кулоновского потенциала и короткодействующего потенциала центральной ячейки, который заменяется на потенциал нулевого радиуса. Метод расчета волновых функций акцептора для такой общей задачи был развит в [1]. Для наших расчетов мы воспользуемся

найденными в [1] волновыми функциями основного состояния акцептора.

Гамильтониан дырки, связанной на акцепторе, представим в виде суммы $\hat{H} = \hat{H}_L^{(0)} + \hat{H}'$. Здесь $\hat{H}^{(0)} = \hat{H}_L(0) + V(\mathbf{r})$ — гамильтониан связанной дырки без магнитного поля, \hat{H}' — часть гамильтониана (1), содержащая магнитное поле. В отсутствие магнитного поля основное состояние акцепторного центра четырехкратно вырождено (полный угловой момент $F = 3/2$). В слабом магнитном поле это вырождение снимается (эффект Зеемана) [3]

$$\Delta E_F = E_F - E_{-F} = -2\mu_B g_F F H, \quad (2)$$

где $\mu_B = e\hbar/(2mc)$ — магнетон Бора, m — масса свободного электрона, c — скорость света, g_F — g -фактор, H — магнитное поле. Таким образом, для расчета величины g -фактора достаточно определить величину расщепления магнитных подуровней с максимальным модулем проекции полного момента F на магнитное поле.

Воспользуемся полученными в [1] волновыми функциями акцепторного центра для нахождения поправки к энергии в первом по H порядке теории возмущений. В случае слабых полей квадратичными по полю членами можно пренебречь, тогда возмущение можно записать следующим образом:

$$\begin{aligned} \hat{H}' = & \frac{e\hbar}{2mc} H \left\{ \left(\gamma_1 + \frac{5}{2} \gamma_2 \right) \hat{L}_z - 2\gamma_2 \left(\hat{x} \hat{p}_y \hat{j}_y^2 - \hat{y} \hat{p}_x \hat{j}_x^2 \right) \right. \\ & - 2\gamma_3 \left[\left(\{ \hat{x}, \hat{p}_x \} - \{ \hat{y}, \hat{p}_y \} \right) \{ \hat{j}_x, \hat{j}_y \} + \{ \hat{x}, \hat{p}_z \} \{ \hat{j}_y, \hat{j}_z \} \right. \\ & \left. \left. - \{ \hat{y}, \hat{p}_z \} \{ \hat{j}_z, \hat{j}_x \} + 2\varkappa \hat{j}_z + 2q \hat{j}_z^3 \right] \right\}. \end{aligned} \quad (3)$$

Далее будем рассматривать наиболее простой случай, в котором гамильтониан сферически-симметричен, т.е. $\gamma_3 \equiv \gamma_2 \equiv \gamma$, $q \equiv 0$. При этом значение параметра γ определяется через параметры γ_2 и γ_3 , взятые для кубически симметричного случая: $\gamma = (2\gamma_2 + 3\gamma_3)/5$. Тогда возмущение (3) можно переписать в более простом и удобном для расчетов

виде

$$\begin{aligned} \hat{H}' = & -\mu_B H \left\{ \left[\left(\gamma_1 + \frac{5}{2} \gamma \right) - \gamma (\hat{J}_x^2 - \hat{J}_y^2) \right] \hat{L}_z \right. \\ & + i \frac{\gamma}{2} (\hat{r}_- \hat{p}_- \hat{J}_+^2 - \hat{r}_+ \hat{p}_+ \hat{J}_-^2) + i \gamma (\hat{p}_z \hat{r}_- \{ \hat{J}_z, \hat{J}_+ \} \\ & \left. - \hat{p}_z \hat{r}_+ \{ \hat{J}_z, \hat{J}_- \} \right) + 2\kappa \hat{J}_z \}. \end{aligned} \quad (4)$$

Для определения магнитного момента акцептора необходимо рассчитать матричный элемент $\langle \Psi_{3/2} | \hat{H}' | \Psi_{3/2} \rangle$, где угловыми скобками обозначается интегрирование по всем волновым векторам. В [1] было показано, что волновую функцию основного состояния акцептора в импульсном представлении можно искать в виде

$$\begin{aligned} \Psi_M(\mathbf{k}) = & \left[\hat{\Lambda}_h(\mathbf{k}) f_h(\mathbf{k}) + \hat{\Lambda}_l(\mathbf{k}) f_l(\mathbf{k}) \right] u_M, \\ M = & \pm 1/2, \pm 3/2, \end{aligned} \quad (5)$$

где $\hat{\Lambda}_{h,l}(\mathbf{k})$ — операторы проектирования на состояния тяжелых и легких дырок [4], $f_{h,l}(\mathbf{k})$ — функции распределения дырки, связанной на акцепторе, по состояниям свободных дырок в валентных подзонах и по импульсам, а u_M — базисная функция вершины валентной зоны.

Нас интересует случай, в котором проекция полного момента дырки на акцепторе равна $M = 3/2$

$$\begin{aligned} \hat{\Psi}_{3/2}(\mathbf{k}) = & [f_h(k) + f_l(k)] u_{3/2} + \frac{f_h(k) - f_l(k)}{2k^2} \\ & \times \left[(k^2 - 3k_z^2) u_{3/2} - 2\sqrt{3} k_z (k_x + ik_y) u_{1/2} \right. \\ & \left. - \sqrt{3} (k_x + ik_y)^2 u_{-1/2} \right] = 2\sqrt{\pi} Y_{0,0} u_{3/2} [f_h(k) + f_l(k)] \\ & + \sqrt{\frac{8\pi}{5}} \left[\frac{Y_{2,0}}{\sqrt{2}} u_{3/2} - Y_{2,1} u_{1/2} + Y_{2,2} u_{-1/2} \right] [f_h(k) - f_l(k)]. \end{aligned} \quad (6)$$

Выражения для функций $f_{h,l}(k)$ зависят от используемой модели и в общем случае требуют численного расчета.

Используя выражение для общего вида волновой функции акцептора (6), можно записать поправку к энергии в более простом виде

$$\begin{aligned} \Delta E_J = & 2 \langle \Psi_{3/2} | \hat{H}' | \Psi_{3/2} \rangle = -2\mu_B H \left\{ (\gamma_1 - \gamma) F_z \right. \\ & \left. + \gamma N + (2\kappa - \gamma_1 + \gamma) J_z \right\}, \end{aligned} \quad (7)$$

где $F_z = 3/2$ — значение проекции полного момента на магнитное поле,

$$J_z = \frac{9}{10} + \frac{12\pi}{5} \langle f_h(k) f_l(k) \rangle \quad (8)$$

— среднее значение проекции спина $3/2$ на поле (здесь и далее угловыми скобками обозначается интегрирование по модулю волнового вектора

$$\langle f(k) \rangle = \int_0^\infty f(k) k^2 dk,$$

$$\begin{aligned} N = & -\frac{12}{5} + \frac{12\pi}{5} \left(3 \langle f_l^2(k) \rangle - 2 \langle f_h(k) f_l(k) \rangle \right. \\ & \left. - 2 \langle f_l(k) k f_h'(k) \rangle \right) \end{aligned} \quad (9)$$

— среднее значение недиагональной (в представлении $|L, L_z, J, J_z\rangle$) части оператора спин-орбитального взаимодействия

$$\begin{aligned} \hat{N} = & (i/2) \left(\hat{r}_- \hat{p}_- \hat{J}_+^2 - \hat{r}_+ \hat{p}_+ \hat{J}_-^2 \right) \\ & + i \left(\hat{p}_z \hat{r}_- \{ \hat{J}_z, \hat{J}_+ \} - \hat{p}_z \hat{r}_+ \{ \hat{J}_z, \hat{J}_- \} \right), \end{aligned} \quad (10)$$

а штрих у функции $f_h(k)$ обозначает производную по модулю волнового вектора.

Расчет g -фактора конкретного акцептора требует численного расчета функций $f_{h,l}(k)$ для данной энергии связи (типа примеси) и типа полупроводника, а также расчета средних величин (8) и (9). Зависимость g -фактора от энергии связи акцептора для параметров Латтинжера $\gamma_1 = 6.85$, $\gamma_2 = 2.1$, $\gamma_3 = 2.9$, $\kappa = 1.2$ [5] приведена на рис. 1 сплошной линией. Кружками показаны g -факторы наиболее часто используемых акцепторов [6]: C (27 meV), Be, Mg (28 meV), Zn (31 meV), Si (35 meV), Ge (40 meV), Mn (113 meV). Видно, что g -фактор слабо зависит от энергии связи, а именно изменение его величины от случая чисто кулоновского акцептора (26.4 meV) до случая глубокого примесного центра, описываемого одним потенциалом нулевого радиуса (штриховая линия), составляет около 5%.

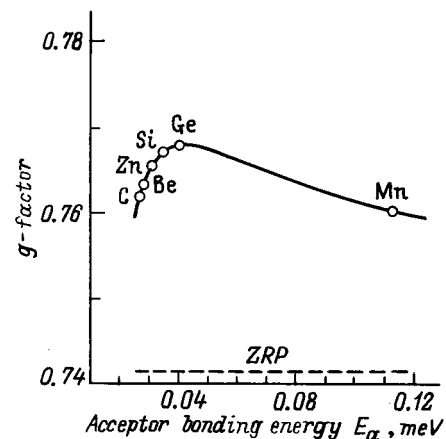


Рис. 1. Зависимость g -фактора от энергии связи акцептора E_a для параметров Латтинжера $\gamma_1 = 6.85$, $\gamma_2 = 2.1$, $\gamma_3 = 2.9$, $\kappa = 1.2$ [5] (сплошная линия). Кружками показаны теоретические значения g -факторов наиболее часто используемых акцепторов: C (27 meV), Be, Mg (28 meV), Zn (31 meV), Si (35 meV), Ge (40 meV), Mn (113 meV). Штриховая линия — g -фактор глубокого примесного центра, описываемого одним потенциалом нулевого радиуса (ZRP).

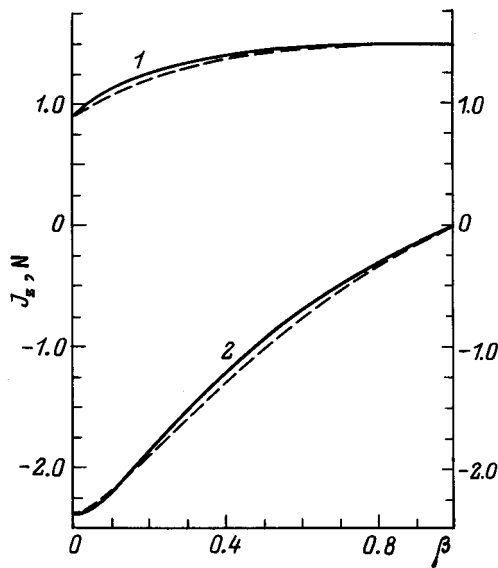


Рис. 2. Средние значения J_z (1) и N (2) для двух предельных случаев кулоновского акцептора (сплошные линии) и акцептора, описываемого потенциалом нулевого радиуса (штриховые линии), в зависимости от отношения масс легкой и тяжелой дырок.

В последнем случае волновая функция акцепторного состояния описывается простыми аналитическими выражениями [7]

$$f_h(k) = \frac{A}{k^2 + \varepsilon}, \quad f_l(k) = \frac{A\beta}{k^2 + \beta\varepsilon},$$

$$A = \frac{\varepsilon^{1/4}}{\pi} \sqrt{\frac{2}{1 + \beta\sqrt{\beta}}}, \quad \beta = \frac{m_l}{m_h}, \quad \varepsilon = \frac{E_a}{E_B}, \quad (11)$$

где m_l и m_h — эффективные массы легкой и тяжелой дырок, E_a — энергия связи акцептора, а E_B — боровская энергия тяжелой дырки. Из выражений (11) следует независимость величины g -фактора в модели потенциала нулевого радиуса от энергии связи акцептора. В этой модели интегралы, входящие в определение средних величин (8) и (9), можно взять аналитически

$$\langle f_h(k)f_l(k) \rangle = \frac{1}{\pi} \frac{\beta}{(1 + \beta\sqrt{\beta})(1 + \sqrt{\beta})},$$

$$\langle f_l^2(k) \rangle = \frac{1}{2\pi} \frac{\beta\sqrt{\beta}}{1 + \beta\sqrt{\beta}},$$

$$\langle f_l(k)kf_h'(k) \rangle = -\frac{1}{\pi} \frac{\beta}{(1 + \beta\sqrt{\beta})} \frac{1 + 2\sqrt{\beta}}{(1 + \sqrt{\beta})^2}. \quad (12)$$

Подставляя (12) в (8), (9) и (2), получаем

$$g_F = \frac{2}{5}(5\gamma - \gamma_1 - 3\kappa) + \frac{8}{5} \frac{\beta}{(1 + \sqrt{\beta})(1 + \beta\sqrt{\beta})} \times \left[\gamma_1 - 2\kappa - \gamma \left(1 + \frac{(7 + 6\sqrt{\beta} + 3\beta)\sqrt{\beta}}{2(1 + \sqrt{\beta})} \right) \right]. \quad (13)$$

Как уже отмечалось выше, величины g -фактора в GaAs для чисто кулоновского акцептора и глубокого центра оказались практически одинаковыми. Аналогичный результат дают и расчеты для InSb, InP и GaP. Поэтому заманчиво воспользоваться формулой (13) для оценок величины g в различных полупроводниках с существенно разными значениями параметров Латтинжера. На рис. 2 сопоставлены результаты расчетов средних значений J_z и N для двух предельных случаев кулоновского акцептора (сплошные линии) и акцептора, описываемого потенциалом нулевого радиуса (штриховые линии), во всем диапазоне значений отношения масс легкой и тяжелой дырок. Максимальные различия между этими моделями возникают при отношениях масс $\beta \approx 0.5$ и составляют порядка 10%. Однако в представляющей практический интерес области $\beta \leq 0.2$ ошибка не превосходит 5%. Таким образом, аналитическое выражение (13) для g -фактора акцептора, описываемого потенциалом нулевого радиуса, дает весьма точную оценку величины g -фактора кулоновского акцептора.

В заключение обратим внимание на то, что развитая выше теория становится несправедливой для достаточно глубоких центров, энергия связи которых сравнима с величиной спин-орбитального расщепления валентной зоны.

Авторы признательны А.В.Родиной, Д.Н.Мирлину и В.Ф.Сапеге за полезные обсуждения, Б.П.Захарчене за интерес к проведенным исследованиям.

Выполнение этой работы поддержано грантом РФФИ 95-02-040-55.

Список литературы

- [1] А.В. Малышев, И.А. Меркулов, А.В. Родина. ФТП **30**, 1, 159 (1996).
- [2] J.M. Luttinger. Phys. Rev. **102**, 1030 (1956).
- [3] Л.Д. Ландау, Е.М. Лифшиц. Квантовая механика. Наука, М. (1989).
- [4] И.А. Меркулов, А.В. Родина. ФТП **28**, 2, 321 (1994).
- [5] Q.X. Zhao et al. Phys. Rev. **B 49**, 10794 (1994).
- [6] Landolt-Borstein. Numerical Data and Functional Relationships in Science and Technology. Springer Verlag (1982). V. 17. Subvol.a.
- [7] В.И. Перель, И.Н. Ясевич. ЖЭТФ **82**, 237 (1982).